

# Starkniederschlagshöhen und -spenden gemäß KOSTRA-DWD-2020

## Rasterfeld 176125

(Zeile 176, Spalte 125)

### Regenspende und Bemessungsniederschlagswerte in Abhängigkeit von Wiederkehrzeit T und Dauerstufe D

| Dauerstufe D |     | Wiederkehrzeit T |            |      |            |      |            |      |            |       |            |       |            |       |            |       |            |       |            |
|--------------|-----|------------------|------------|------|------------|------|------------|------|------------|-------|------------|-------|------------|-------|------------|-------|------------|-------|------------|
|              |     | 1 a              |            | 2 a  |            | 3 a  |            | 5 a  |            | 10 a  |            | 20 a  |            | 30 a  |            | 50 a  |            | 100 a |            |
| min          | Std | mm               | l / (s ha) | mm   | l / (s ha) | mm   | l / (s ha) | mm   | l / (s ha) | mm    | l / (s ha) | mm    | l / (s ha) | mm    | l / (s ha) | mm    | l / (s ha) | mm    | l / (s ha) |
| 5            |     | 7,3              | 243,3      | 9,0  | 300,0      | 10,1 | 336,7      | 11,5 | 383,3      | 13,5  | 450,0      | 15,5  | 516,7      | 16,9  | 563,3      | 18,7  | 623,3      | 21,2  | 706,7      |
| 10           |     | 9,3              | 155,0      | 11,5 | 191,7      | 12,9 | 215,0      | 14,7 | 245,0      | 17,2  | 286,7      | 19,9  | 331,7      | 21,6  | 360,0      | 23,9  | 398,3      | 27,2  | 453,3      |
| 15           |     | 10,6             | 117,8      | 13,1 | 145,6      | 14,6 | 162,2      | 16,7 | 185,6      | 19,6  | 217,8      | 22,6  | 251,1      | 24,6  | 273,3      | 27,2  | 302,2      | 30,9  | 343,3      |
| 20           |     | 11,5             | 95,8       | 14,2 | 118,3      | 15,9 | 132,5      | 18,1 | 150,8      | 21,3  | 177,5      | 24,6  | 205,0      | 26,8  | 223,3      | 29,6  | 246,7      | 33,6  | 280,0      |
| 30           |     | 12,9             | 71,7       | 16,0 | 88,9       | 17,9 | 99,4       | 20,4 | 113,3      | 23,9  | 132,8      | 27,6  | 153,3      | 30,0  | 166,7      | 33,2  | 184,4      | 37,8  | 210,0      |
| 45           |     | 14,4             | 53,3       | 17,9 | 66,3       | 20,0 | 74,1       | 22,8 | 84,4       | 26,8  | 99,3       | 30,9  | 114,4      | 33,6  | 124,4      | 37,1  | 137,4      | 42,2  | 156,3      |
| 60           | 1   | 15,6             | 43,3       | 19,3 | 53,6       | 21,6 | 60,0       | 24,6 | 68,3       | 28,9  | 80,3       | 33,3  | 92,5       | 36,3  | 100,8      | 40,1  | 111,4      | 45,6  | 126,7      |
| 90           | 1,5 | 17,4             | 32,2       | 21,5 | 39,8       | 24,0 | 44,4       | 27,3 | 50,6       | 32,1  | 59,4       | 37,1  | 68,7       | 40,3  | 74,6       | 44,6  | 82,6       | 50,7  | 93,9       |
| 120          | 2   | 18,7             | 26,0       | 23,1 | 32,1       | 25,9 | 36,0       | 29,5 | 41,0       | 34,6  | 48,1       | 40,0  | 55,6       | 43,5  | 60,4       | 48,1  | 66,8       | 54,6  | 75,8       |
| 180          | 3   | 20,8             | 19,3       | 25,7 | 23,8       | 28,7 | 26,6       | 32,7 | 30,3       | 38,4  | 35,6       | 44,4  | 41,1       | 48,2  | 44,6       | 53,3  | 49,4       | 60,6  | 56,1       |
| 240          | 4   | 22,3             | 15,5       | 27,6 | 19,2       | 30,9 | 21,5       | 35,2 | 24,4       | 41,4  | 28,8       | 47,8  | 33,2       | 51,9  | 36,0       | 57,4  | 39,9       | 65,2  | 45,3       |
| 360          | 6   | 24,8             | 11,5       | 30,6 | 14,2       | 34,3 | 15,9       | 39,0 | 18,1       | 45,9  | 21,3       | 52,9  | 24,5       | 57,6  | 26,7       | 63,6  | 29,4       | 72,3  | 33,5       |
| 540          | 9   | 27,5             | 8,5        | 33,9 | 10,5       | 38,0 | 11,7       | 43,2 | 13,3       | 50,8  | 15,7       | 58,7  | 18,1       | 63,8  | 19,7       | 70,5  | 21,8       | 80,2  | 24,8       |
| 720          | 12  | 29,5             | 6,8        | 36,5 | 8,4        | 40,8 | 9,4        | 46,5 | 10,8       | 54,7  | 12,7       | 63,1  | 14,6       | 68,6  | 15,9       | 75,8  | 17,5       | 86,2  | 20,0       |
| 1080         | 18  | 32,7             | 5,0        | 40,4 | 6,2        | 45,2 | 7,0        | 51,5 | 7,9        | 60,6  | 9,4        | 69,9  | 10,8       | 76,0  | 11,7       | 84,0  | 13,0       | 95,5  | 14,7       |
| 1440         | 24  | 35,2             | 4,1        | 43,5 | 5,0        | 48,6 | 5,6        | 55,4 | 6,4        | 65,1  | 7,5        | 75,2  | 8,7        | 81,7  | 9,5        | 90,3  | 10,5       | 102,7 | 11,9       |
| 2880         | 48  | 41,9             | 2,4        | 51,8 | 3,0        | 57,9 | 3,4        | 66,0 | 3,8        | 77,5  | 4,5        | 89,5  | 5,2        | 97,3  | 5,6        | 107,6 | 6,2        | 122,3 | 7,1        |
| 4320         | 72  | 46,4             | 1,8        | 57,3 | 2,2        | 64,1 | 2,5        | 73,0 | 2,8        | 85,9  | 3,3        | 99,1  | 3,8        | 107,8 | 4,2        | 119,2 | 4,6        | 135,4 | 5,2        |
| 5760         | 96  | 49,9             | 1,4        | 61,7 | 1,8        | 68,9 | 2,0        | 78,5 | 2,3        | 92,3  | 2,7        | 106,6 | 3,1        | 115,9 | 3,4        | 128,1 | 3,7        | 145,6 | 4,2        |
| 7200         | 120 | 52,7             | 1,2        | 65,2 | 1,5        | 72,9 | 1,7        | 83,1 | 1,9        | 97,7  | 2,3        | 112,7 | 2,6        | 122,6 | 2,8        | 135,5 | 3,1        | 154,0 | 3,6        |
| 8640         | 144 | 55,2             | 1,1        | 68,3 | 1,3        | 76,4 | 1,5        | 87,0 | 1,7        | 102,2 | 2,0        | 118,0 | 2,3        | 128,3 | 2,5        | 141,9 | 2,7        | 161,2 | 3,1        |
| 10080        | 168 | 57,4             | 0,9        | 71,0 | 1,2        | 79,4 | 1,3        | 90,4 | 1,5        | 106,3 | 1,8        | 122,7 | 2,0        | 133,4 | 2,2        | 147,5 | 2,4        | 167,6 | 2,8        |

# Starkniederschlagshöhen und -spenden gemäß KOSTRA-DWD-2020

## Rasterfeld 176125

(Zeile 176, Spalte 125)

### Örtliche Unsicherheiten in Abhängigkeit von Wiederkehrzeit T und Dauerstufe D

| Dauerstufe D |     | Wiederkehrzeit T |     |     |     |      |      |      |      |       |
|--------------|-----|------------------|-----|-----|-----|------|------|------|------|-------|
|              |     | 1 a              | 2 a | 3 a | 5 a | 10 a | 20 a | 30 a | 50 a | 100 a |
| min          | Std | ± %              | ± % | ± % | ± % | ± %  | ± %  | ± %  | ± %  | ± %   |
| 5            |     | 12               | 13  | 13  | 14  | 14   | 15   | 15   | 16   | 16    |
| 10           |     | 15               | 16  | 17  | 18  | 19   | 20   | 20   | 20   | 21    |
| 15           |     | 17               | 18  | 19  | 20  | 21   | 22   | 22   | 23   | 23    |
| 20           |     | 18               | 19  | 20  | 21  | 22   | 23   | 23   | 24   | 24    |
| 30           |     | 18               | 20  | 21  | 22  | 23   | 24   | 24   | 25   | 25    |
| 45           |     | 19               | 20  | 21  | 22  | 23   | 24   | 24   | 25   | 25    |
| 60           | 1   | 18               | 20  | 21  | 22  | 23   | 24   | 24   | 25   | 25    |
| 90           | 1,5 | 18               | 20  | 20  | 21  | 22   | 23   | 24   | 24   | 25    |
| 120          | 2   | 17               | 19  | 20  | 21  | 22   | 23   | 23   | 24   | 24    |
| 180          | 3   | 16               | 18  | 19  | 20  | 21   | 22   | 22   | 23   | 23    |
| 240          | 4   | 15               | 17  | 18  | 19  | 20   | 21   | 21   | 22   | 22    |
| 360          | 6   | 14               | 16  | 17  | 18  | 19   | 20   | 20   | 20   | 21    |
| 540          | 9   | 13               | 15  | 16  | 17  | 18   | 18   | 19   | 19   | 20    |
| 720          | 12  | 13               | 14  | 15  | 16  | 17   | 18   | 18   | 18   | 19    |
| 1080         | 18  | 12               | 13  | 14  | 15  | 16   | 16   | 17   | 17   | 18    |
| 1440         | 24  | 11               | 13  | 13  | 14  | 15   | 16   | 16   | 16   | 17    |
| 2880         | 48  | 11               | 12  | 12  | 13  | 14   | 14   | 15   | 15   | 15    |
| 4320         | 72  | 11               | 11  | 12  | 12  | 13   | 14   | 14   | 14   | 15    |
| 5760         | 96  | 11               | 11  | 12  | 12  | 13   | 13   | 14   | 14   | 14    |
| 7200         | 120 | 11               | 11  | 12  | 12  | 13   | 13   | 13   | 14   | 14    |
| 8640         | 144 | 12               | 12  | 12  | 12  | 13   | 13   | 13   | 13   | 14    |
| 10080        | 168 | 12               | 12  | 12  | 12  | 13   | 13   | 13   | 13   | 14    |

### Parameter für abweichende T und D

#### Lokationsparameter $\xi$ (Xi)

15,83439985

#### Skalenparameter $\alpha$ (Alpha)

5,1985695

#### Formparameter $\kappa$ (Kappa)

-0,1

#### 1. Koutsoyiannis-Parameter $\theta$ (Theta)

0,01874332

#### 2. Koutsoyiannis-Parameter $\eta$ (Eta)

0,74846938

Parameter für dauerstufenübergreifende Extremwertschätzung nach KOUTSOYIANNIS et al. 1998.

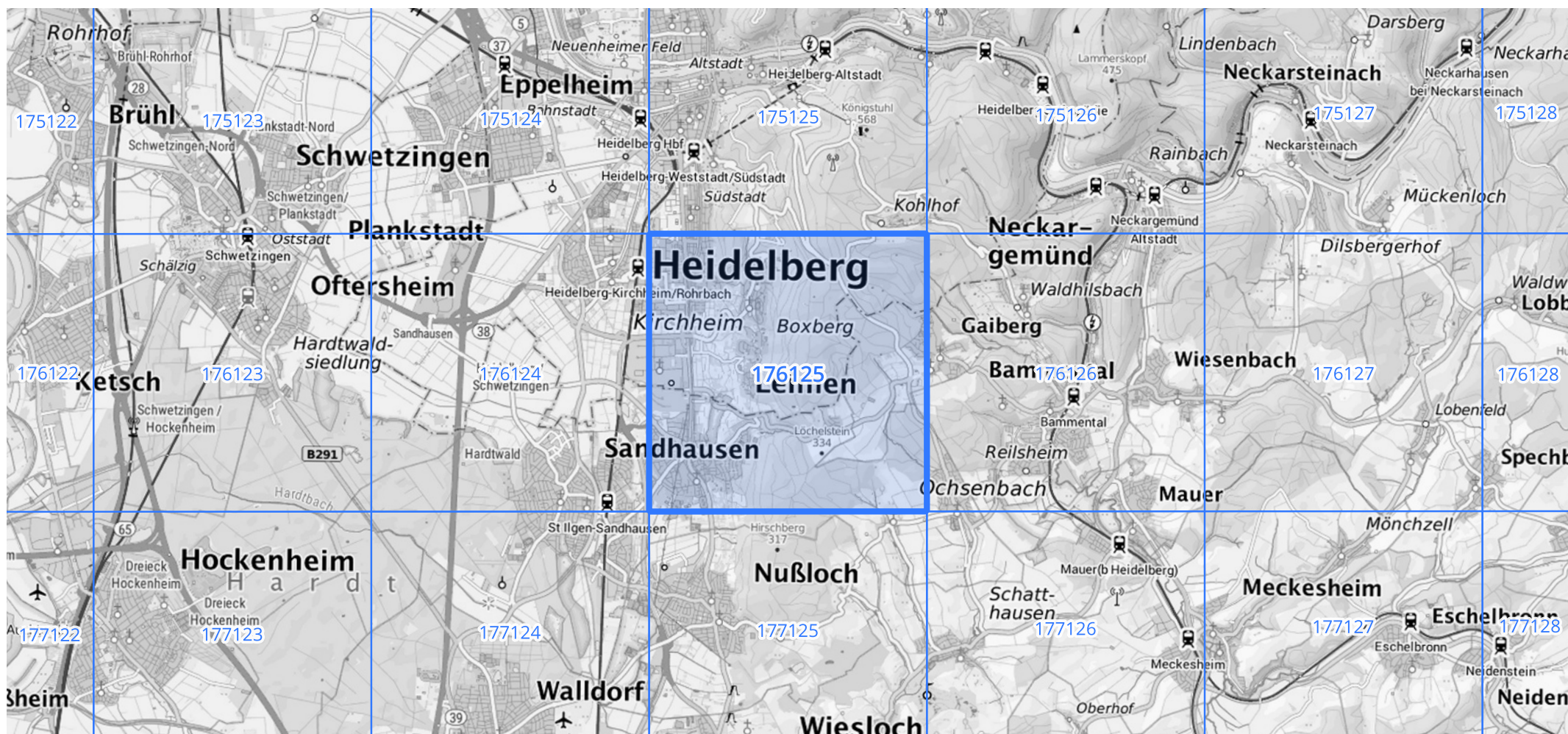
Siehe auch Anwendungshilfe zu KOSTRA-DWD-2020 des Deutschen Wetterdienstes.

## Starkniederschlagshöhen und -spenden gemäß KOSTRA-DWD-2020

## Rasterfeld 176125

(Zeile 176, Spalte 125)

Übersichtskarte des Rasterfeldes 176125, M 1 : 100 000



Quelle Rasterdaten: KOSTRA-DWD-2020 des Deutschen Wetterdienstes, Stand 12/2022.

Seite 3 von 3

Kartendarstellung: © Bundesamt für Kartographie und Geodäsie (2023), Datenquellen: [https://sgx.geodatenzentrum.de/web\\_public/gdz/datenquellen/Datenquellen\\_TopPlusOpen.html](https://sgx.geodatenzentrum.de/web_public/gdz/datenquellen/Datenquellen_TopPlusOpen.html)

Für die Richtigkeit und Aktualität der Angaben wird keine Gewähr übernommen. Erstellt 01/2023.